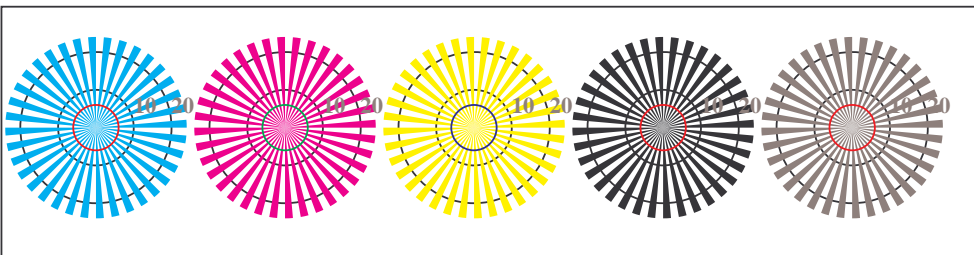




TI971-1, Fig. B4Wd: 16 equidistante passi $W-C_d; W-M_d; W-Y_d; W-N$; $rgb/cmy0 \rightarrow rgb_d$ setrgbcolor

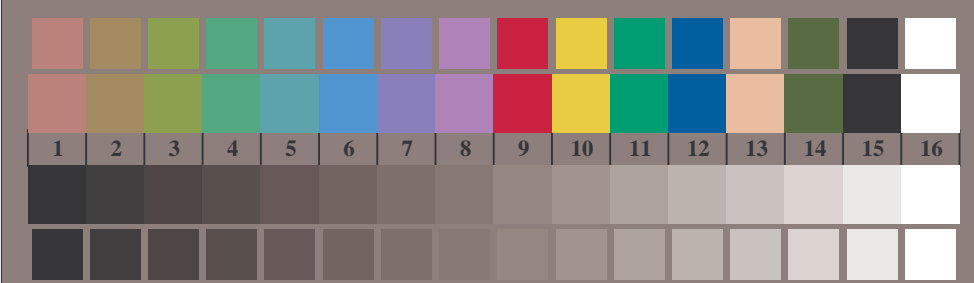
+-.:	Q	O	O	Q	C	lmno	C	O	C	O	Q	pqrs	O	O	O	O	tuvw	O	O	O	O		
xyz;	O	O	O	O	C	hijk	O	O	O	O	C	lmno	O	O	O	O	pqrs	O	O	O	O		
tuvw	O	O	O	O	C	defg	O	O	O	O	C	hijk	O	O	O	O	hijk	O	O	O	O		
pqrs	O	O	O	O	C	!abc	O	O	O	O	C	+-.	O	O	O	O	+-.	O	O	O	O		
lmno	O	O	O	O	C	xyz;	O	O	O	O	C	xyz;	O	O	O	O	tuvw	O	O	O	O		
hijk	C	C	O	O	C	tuvw	O	O	O	O	C	defg	O	O	O	O	defg	O	O	O	O		
defg	O	O	O	O	C	pqrs	O	O	O	O	C	!abc	O	O	O	O	!abc	C	O	O	O		
!abc	O	O	O	O	C	10	N	C_d	M_d	Y_d	Z	6	N	C_d	M_d	Y_d	Z	4	N	C_d	M_d	Y_d	Z

TI971-3, Fig. B5Wd: codice i Landolt anelli $N; C_d; M_d; Y_d; Z$; PS operator: $rgb \rightarrow rgb_d$ setrgbcolor

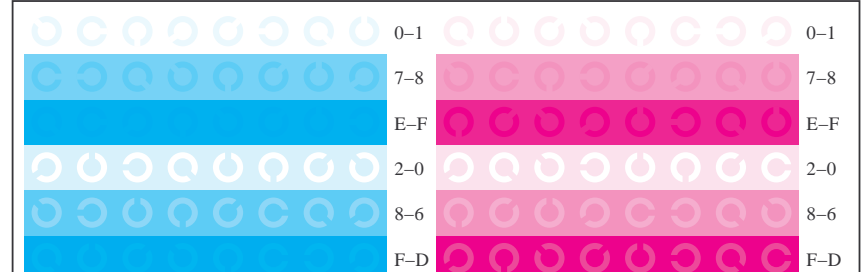


reticolli radiali $W-C_d$ reticolli radiali $W-M_d$ reticolli radiali $W-Y_d$ reticolli radiali $W-N$ reticolli radiali $W-Z$

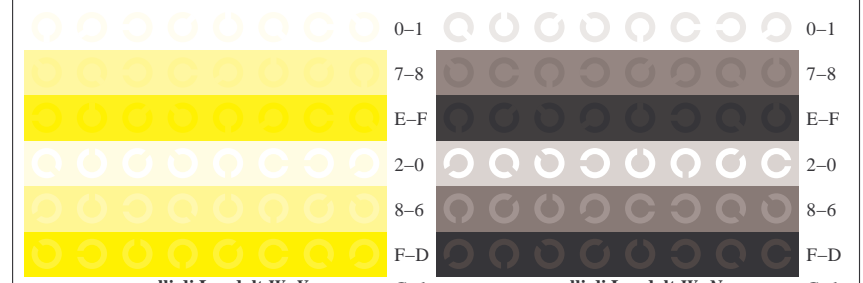
TI970-5, Fig. B2Wd: reticolli radiali $W-C_d; W-M_d; W-Y_d; W-N$; PS operator: $rgb \rightarrow rgb_d$ setrgbcolor



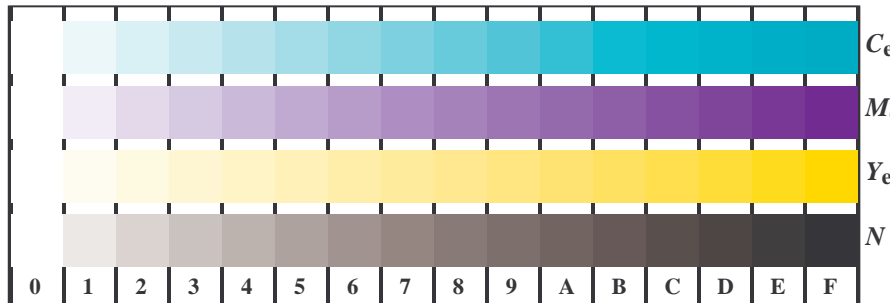
TI970-7, Fig. B3Wd: 14 prova colori CIE i 2 + 16 grigio passi (sf); PS operator: $rgb/cmy0 \rightarrow rgb_d$ setrgbcolor



TI971-5, Fig. B6Wd: anelli di Landolt $W-C_d; W-M_d$; PS operator: $rgb \rightarrow rgb_d$ setrgbcolor



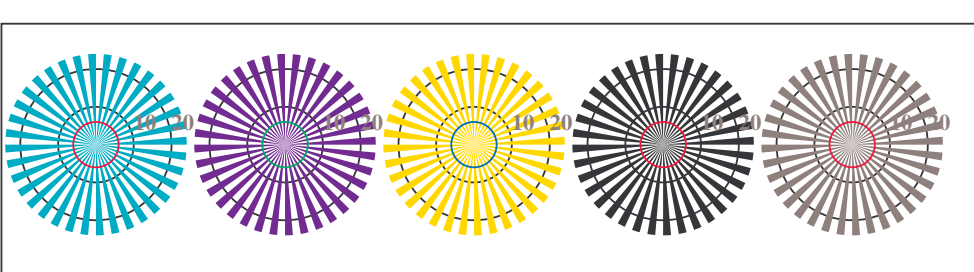
TI971-7, Fig. B7Wd: anelli di Landolt $W-Y_d; W-N$; PS operator: $rgb \rightarrow rgb_d$ setrgbcolor



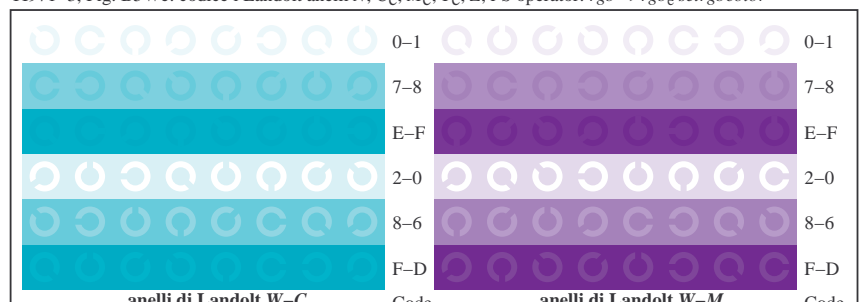
TI971-1, Fig. B4We: 16 equidistanti passi $W-C_e$; $W-M_e$; $W-Y_e$; $W-N$; $rgb/cmy0 \rightarrow rgbe$ setrgbcolor

+-.	Q	O	O	O	C	lmno	C	O	O	O	O	pqrs	O	O	O	O	uvwxyz;	O	O	O	O	O	O	tuvw	O	O	O	O	O	O
xyz;	O	O	O	O	C	hijk	O	O	O	O	O	lmno	O	O	O	O	lmno	O	O	O	O	O	O	lmno	O	O	O	O	O	O
tuvw	C	O	O	O	C	defg	O	O	O	O	O	hijk	O	O	O	O	hijk	O	O	O	O	O	O	hijk	O	O	O	O	O	O
pqrs	O	O	O	O	C	!abc	O	O	O	O	O	!abc	O	O	O	O	!abc	O	O	O	O	O	O	!abc	O	O	O	O	O	O
lmno	O	O	O	O	C	+-.:	O	O	O	O	O	+-.:	O	O	O	O	+-.:	O	O	O	O	O	O	+-.:	O	O	O	O	O	O
hijk	C	O	O	O	C	xyz;	O	O	O	O	O	xyz;	O	O	O	O	xyz;	O	O	O	O	O	O	xyz;	O	O	O	O	O	O
defg	O	O	O	O	C	tuvw	O	O	O	O	O	tuvw	O	O	O	O	tuvw	O	O	O	O	O	O	tuvw	O	O	O	O	O	O
!abc	O	O	O	O	C	pqrs	O	O	O	O	O	pqrs	O	O	O	O	pqrs	O	O	O	O	O	O	pqrs	O	O	O	O	O	O
10	N	C _e	M _y	Y _e	Z		8	N	C _e	M _y	Y _e	Z	6	N	C _e	M _y	Y _e	Z	4	N	C _e	M _y	Y _e	Z						

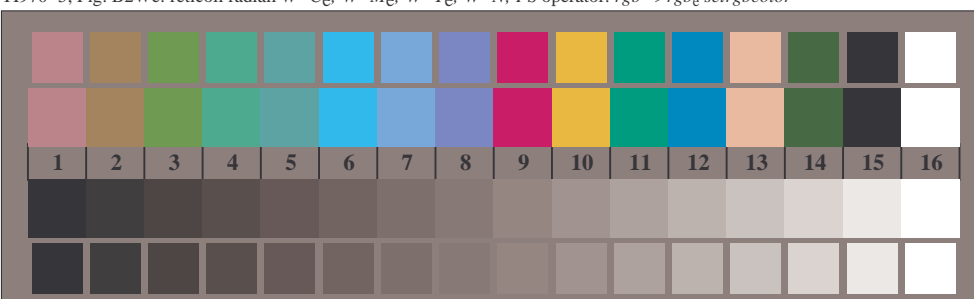
TI971-3, Fig. B5We; codice i Landolt anelli N; Ce; Me; Ye; Z; PS operator; $rgb \rightarrow rgh$, setrgbcolor



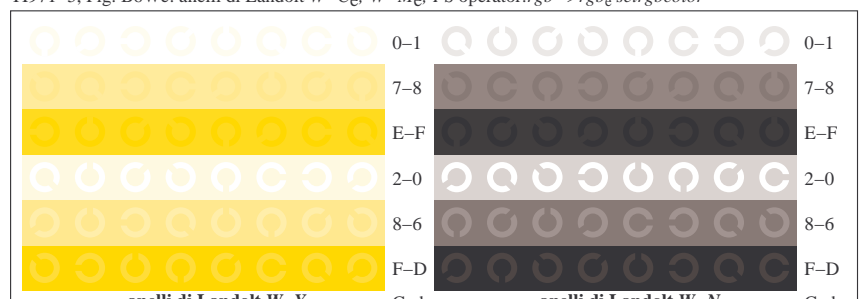
reticoli radiali $W-C_e$ **reticoli radiali $W-M_e$** **reticoli radiali $W-Y_e$** **reticoli radiali $W-N$** **reticoli radiali $W-Z$**



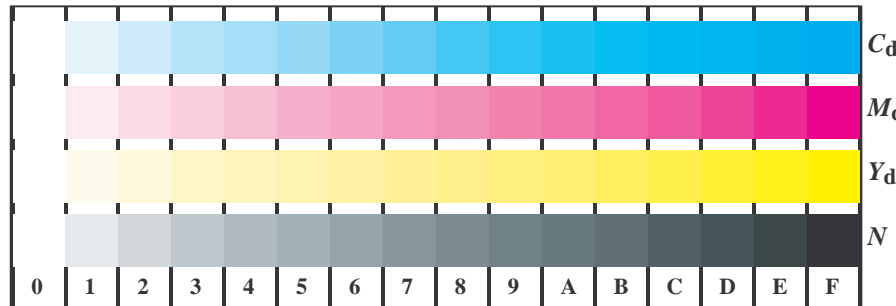
TJ971-5, Fig. B6We: anelli di Landolt $W-C_e$; $W-M_e$; PS operator: $rgh \rightarrow rgh$, setrgbcolor.



TI970-7, Fig. B3We: 14 prova colori CIE i 2 + 16 grigio passi (sf); PS operator: $rab/cmy0 \rightarrow rab$, setrahcolor.



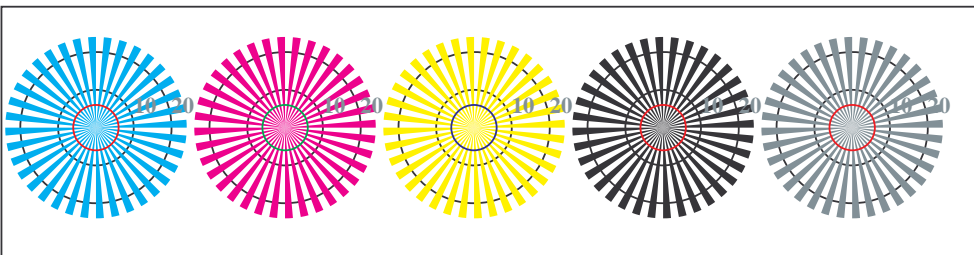
TI971-7, Fig. B7We: anelli di Landolt $W-Y_e$; $W-N$; PS operator; $rgh \rightarrow rgh$, setrbcolor.



TI971-1, Fig. B4Wdd: 16 equidistante passi $W-C_d$; $W-M_d$; $W-Y_d$; $W-N$; $rgb/cmy0 \rightarrow rgb_{dd}$ setrgbcolor

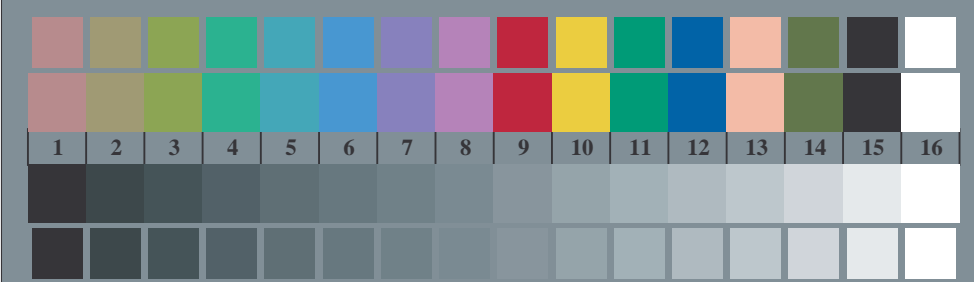
+-.:	Q	O	O	Q	C	lmno	C	O	C	O	O	pqrs	O	O	O	O	tuvw	O	O	O	O		
xyz;	O	O	O	O	O	hijk	O	O	O	O	O	lmno	O	O	O	O	pqrs	O	O	O	O		
tuvw	O	O	O	O	O	defg	O	O	O	O	O	hijk	O	O	O	O	hijk	O	O	O	O		
pqrs	O	O	O	O	O	!abc	O	O	O	O	O	+-.:	O	O	O	O	+-.:	O	O	O	O		
lmno	O	O	O	O	O	xyz;	O	O	O	O	O	xyz;	O	O	O	O	tuvw	O	O	O	O		
hijk	C	C	C	O	O	tuvw	O	O	O	O	O	defg	O	O	O	O	defg	O	O	O	O		
defg	O	O	O	O	O	!abc	O	O	O	O	O	!abc	O	O	O	O	!abc	O	O	O	O		
!abc	O	O	O	O	O	10	N	C_d	M_d	Y_d	Z	6	N	C_d	M_d	Y_d	Z	6	N	C_d	M_d	Y_d	Z
												8	N	C_d	M_d	Y_d	Z	8	N	C_d	M_d	Y_d	Z

TI971-3, Fig. B5Wdd: codice i Landolt anelli N ; C_d ; M_d ; Y_d ; Z ; PS operator: $rgb \rightarrow rgb_{dd}$ setrgbcolor

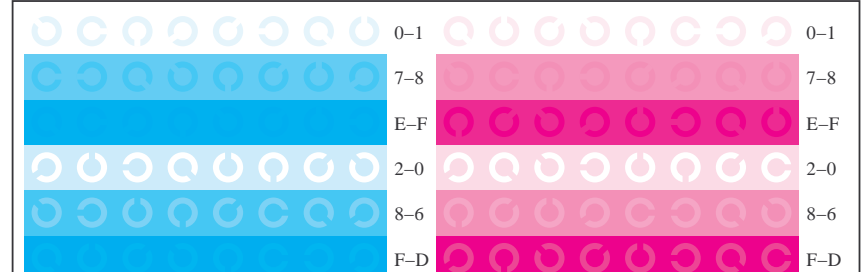


reticolli radiali $W-C_d$ reticolli radiali $W-M_d$ reticolli radiali $W-Y_d$ reticolli radiali $W-N$ reticolli radiali $W-Z$

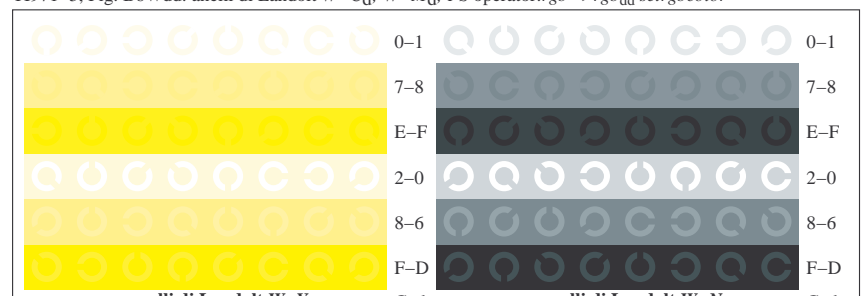
TI970-5, Fig. B2Wdd: reticolli radiali $W-C_d$; $W-M_d$; $W-Y_d$; $W-N$; PS operator: $rgb \rightarrow rgb_{dd}$ setrgbcolor



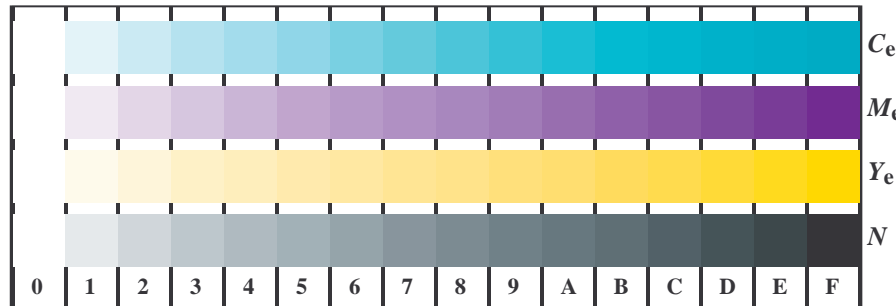
TI970-7, Fig. B3Wdd: 14 prova colori CIE i 2 + 16 grigio passi (sf); PS operator: $rgb/cmy0 \rightarrow rgb_{dd}$ setrgbcolor



TI971-5, Fig. B6Wdd: anelli di Landolt $W-C_d$; $W-M_d$; PS operator: $rgb \rightarrow rgb_{dd}$ setrgbcolor



TI971-7, Fig. B7Wdd: anelli di Landolt $W-Y_d$; $W-N$; PS operator: $rgb \rightarrow rgb_{dd}$ setrgbcolor



TI971-1, Fig. B4Wde: 16 equidistante passi $W-C_e; W-M_e; W-Y_e; W-N$; $rgb/cmy0 \rightarrow rgb_{de}$ setrgbcolor

+-.:					lmno					pqrs					tuvw				
xyz;					hijk					lmno					pqrs				
tuvw					defg					hijk					lmno				
pqrs					!abc					+-.:					xyz;				
lmno					xyz;					defg					lmno				
hijk					defg					!abc					+-.:				
defg					!abc					10					N				
!abc					10					N					C _e				

C_e

M_e

Y_e

N

TI971-3, Fig. B5Wde: codice i Landolt anelli N ; C_e ; M_e ; Y_e ; Z ; PS operator: $rgb \rightarrow rgb_{de}$ setrgbcolor

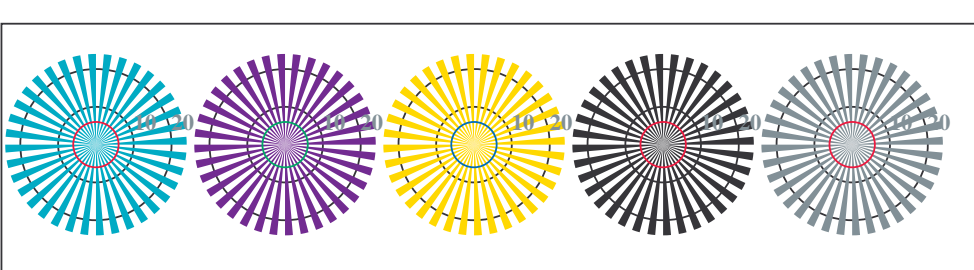
anelli di Landolt $W-C_e$	Code	anelli di Landolt $W-M_e$	Code
0-1		0-1	
7-8		7-8	
E-F		E-F	
2-0		2-0	
8-6		8-6	
F-D		F-D	

TI971-5, Fig. B6Wde: anelli di Landolt $W-C_e$; $W-M_e$; PS operator: $rgb \rightarrow rgb_{de}$ setrgbcolor

anelli di Landolt $W-Y_e$	Code	anelli di Landolt $W-N$	Code
0-1		0-1	
7-8		7-8	
E-F		E-F	
2-0		2-0	
8-6		8-6	
F-D		F-D	

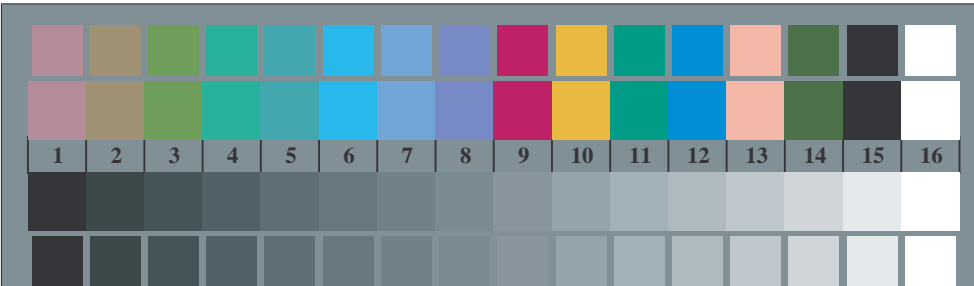
TI971-7, Fig. B7Wde: anelli di Landolt $W-Y_e$; $W-N$; PS operator: $rgb \rightarrow rgb_{de}$ setrgbcolor

4-113131-F0



reticolli radiali $W-C_e$ reticolli radiali $W-M_e$ reticolli radiali $W-Y_e$ reticolli radiali $W-N$ reticolli radiali $W-Z$

TI970-5, Fig. B2Wde: reticolli radiali $W-C_e$; $W-M_e$; $W-Y_e$; $W-N$; PS operator: $rgb \rightarrow rgb_{de}$ setrgbcolor



TI970-7, Fig. B3Wde: 14 prova colori CIE i 2 + 16 grigio passi (sf); PS operator: $cmy0 \rightarrow rgb_{de}$ setrgbcolor